

Труды XXVIII научной конференции по радиофизике

**СЕКЦИЯ  
«МАТЕМАТИЧЕСКОЕ МОДЕЛИРОВАНИЕ  
ПРОЦЕССОВ И СИСТЕМ»**

Председатель – И.С. Павлов, секретарь – О.Н. Минаева.  
Нижегородский государственный университет им. Н.И. Лобачевского.

## КАПЛЯ РАССЛАИВАЮЩЕГОСЯ РАСТВОРА КАК ТЕРМОДИНАМИЧЕСКИЙ АНАЛОГ КУБИТА

В.Б. Федосеев

ИМХ РАН

Одним из свойств кубита является то, что он кроме двух основных состояний  $|1\rangle$  и  $|0\rangle$  может находиться в состоянии их "суперпозиции"  $(x \cdot |0\rangle + y \cdot |1\rangle)$ ,  $|x|^2 + |y|^2 = 1$ . В сообщении показано, что подобными свойствами могут обладать относительно простые термодинамические системы микронного и субмикронного размера.

Термодинамическое описание фазовых равновесий в макросистемах основано на вычислении и минимизации энергии Гиббса ( $G$ ) смеси. Для систем ограниченного объёма становятся существенными вклады, связанные с поверхностной энергией межфазных границ, и возникают эффекты, ненаблюдаемые в макросистемах. Фазовые превращения в малом объёме имеют особенности: меняются температуры переходов, меняется область растворимости, появляются новые метастабильные состояния, становится существенным эффект формы [1].

Сосуществующие растворы смачивают друг друга, поэтому при расслаивании малого объёма раствора с большей вероятностью образуется структура типа core-shell (ядро-оболочка). При термодинамическом описании состояние такой частицы описывается 2-мя параметрами ( $r$  – радиус капли и  $x$  – концентрация раствора) и 2-мя независимыми переменными ( $\theta_1$  и  $\theta_2$  – долями компонентов, перешедших в core-фазу). В этих переменных избыточную свободную энергию системы  $G^E(\theta_1, \theta_2)$  можно отобразить на единичный квадрат. Это позволяет сопоставлять состояния систем разного размера, состава и конфигурации (core-shell, janus либо иной).

Пример такого отображения приведён на рис. 1, который демонстрирует состояния сферической капли ( $r = 1$  мкм) раствора висмут–сурьма (Bi–Sb). Размерные эффекты при фазовых превращениях в этой системе ранее рассмотрены в [1, 2].

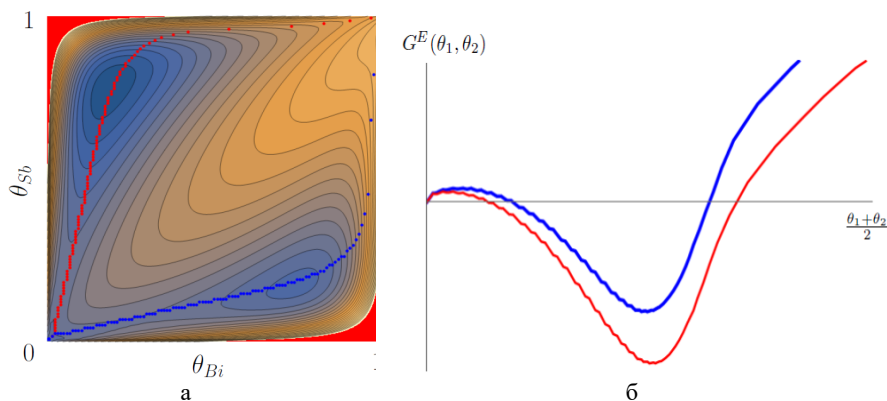


Рис. 1

Красные и синие линии на рисунке 1 соответствуют овражным траекториям, соединяющим гомогенное состояние с равновесными core-shell состояниями, и изменению свободной энергии системы  $G^E(\theta_1, \theta_2)$  вдоль этих траекторий (рис. 1б). Согласно рис. 1 система имеет три термодинамически устойчивых состояния гомогенное ( $\theta = 0$ ) и два гетерогенных  $Sb@Bi$  и  $Bi@Sb$  (core-фаза содержит  $Sb$  и  $Bi$  соответственно). Core-shell состояния для рассмотренного случая более выгодны. Для перехода из состояния  $\theta = 0$  в состояние  $Sb@Bi$  или  $Bi@Sb$  система должна преодолеть небольшой энергетический барьер (рис. 1б). Состояния  $Sb@Bi$  и  $Bi@Sb$  разделены существенно более высоким энергетическим барьером, поэтому прямой переход между ними невозможен. Высота барьеров, энергия состояний и состав равновесных core-shell состояний зависят от температуры, размера и состава капель.

Таким образом, описанная система может находиться либо в одном из основных состояний, либо в метастабильном гомогенном состоянии, являющимся переходным между ними. С точки зрения теории информации эта система хранит один бит информации. Используя аналогию с кубитом, метастабильное переходное состояние можно интерпретировать как "запутанное".

На рис. 1а видно, что область запутанного состояния включает некоторую окрестность гомогенного состояния и овражных траекторий и ограничена точками перевалов. Точки перевала на овражных траекториях ( $G^E(\theta_1^*, \theta_2^*)$ ) для core-shell состояний соответствуют понятию "зародыш критического размера" [3]. Рост критического зародыша переводит систему в одно из основных состояний (рис. 1б). Величины  $G^E(\theta_1^*, \theta_2^*)$  соответствуют энергии активации перехода системы из гомогенного (запутанного) в одно из основных состояний. Вернуть систему в запутанное состояние (стереть информацию) можно нагревом до температуры ликвидуса или деформацией [4]. И энергию активации, и энергию стирания информации можно настраивать, меняя размеры частицы, концентрацию раствора или химический состав. При переходе из запутанного в основное состояние выделяется энергия  $G_{Sb@Bi}^E$  или  $G_{Bi@Sb}^E$ . Эта энергия превышает энергию активации  $G^E(\theta_1^*, \theta_2^*)$  и может быть использована на взаимодействие с соседними частицами.

Описанная система имеет два основных состояния и одно "запутанное", хранит один бит информации, имеет возможность взаимодействовать с другими подобными системами и управляется внешними воздействиями. По совокупности признаков для такой системы можно предложить термин

"тебит" или "т-бит" (**thebit – thermodynamic bit**).

Тебиты могут быть реализованы не только на твёрдых, но и на жидких расслаивающихся растворах, а также на основе других фазовых превращений.

Готовый пример, демонстрирующий "взаимодействие тебитов" на фазовом переходе кристалл – раствор, приведён в [5, 6]. При испарении или конденсации растворителя (воды) в капле раствора соли образуется либо растворяется кристалл. Это меняет давление пара растворителя и воздействует на соседние капли. В результате наблюдается возбуждение долговременных асинхронных апериодических колебаний между состояниями раствор ( $S$ ) и кристалл ( $C$ ) (рис. 2). Видео процесса размещено на сайте работы [5] в supplemental files. Связь между каплями и "перенос информации" осуществляется через давление пара растворителя, которое стабилизируется внешним

резервуаром. В экспериментах роль резервуара выполняла крупная капля растворителя (дистиллированная вода).

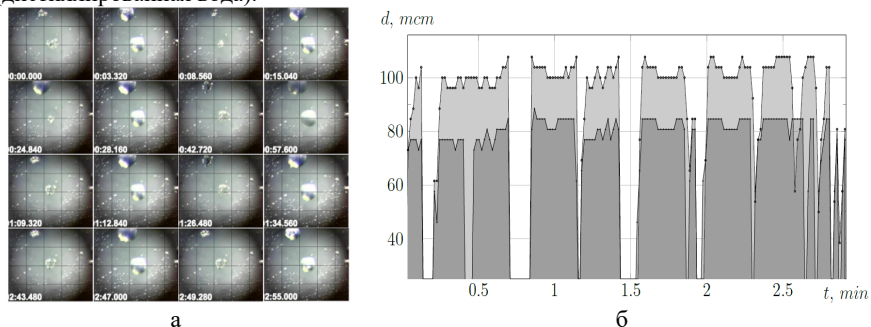


Рис. 2

В этом случае с запутанным состоянием можно отождествить неустойчивое состояние, при котором кристалл окружён непостоянным объёмом раствора (состояние  $x \cdot C + y \cdot S$ ). На рис. 2б видно, что время жизни состояний  $S$  и  $C$  достигает нескольких десятков секунд, а переключение между ними составляет доли секунды при практически полном испарении растворителя.

Подобные осцилляции мы наблюдали с каплями растворов различных кристаллических веществ, в том числе органических [6].

### Заключение

Обсуждая введение понятия тебит (thebit), следует рассмотреть необходимость порождения этой новой сущности. Выше показано, что тебит обладает необходимыми свойствами, чтобы выполнять функции аналогичные функциям кубита.

При сопоставлении кубита и тебита можно отметить некоторые особенности, которые могут рассматриваться как преимущества тебита. Для его функционирования не требуется высокого вакуума, сверхнизких температур, сверхчистых материалов, тебит более устойчив к слабым случайным внешним воздействиям, не нуждается в прецизионных методах измерения основания состояний, допускает возможность измерения характеристик "запутанного" состояния. Сопоставление позволяет ожидать, что накопленный опыт работы с кубитами может способствовать разработке прототипов устройств, работающих на тебитах.

- [1] Федосеев В.Б. // ФТТ. 2015. Т. 57, №. 3. С. 585.
- [2] Шишулин А.В., Федосеев В.Б., Шишулина А.В. // ЖТФ. 2019. Т. 89, №. 4. С. 556.
- [3] Фольмер М. Кинетика образования новой фазы. – М.: Наука, 1986. 208 с.
- [4] Федосеев В.Б., Шишулин А.В. // ФТТ. 2018. Т. 60, №. 7. С. 1382.
- [5] Федосеев В.Б., Максимов М.В. // Письма в ЖЭТФ. 2015. Т. 101, №. 6. С. 424.
- [6] Федосеев В.Б. // Нелинейная динамика. 2017. Т. 13, №. 2. С. 195.

## ПОТОК ЭНЕРГИИ ОТ ТОЧЕЧНОГО ИСТОЧНИКА УПРУГИХ ВОЛН

А.Е. Китаев

АО «ННПО имени М.В.Фрунзе»

**Введение**

Уравнение Ламе – это уравнение следующего вида:

$$\rho \frac{\partial^2 \mathbf{u}}{\partial t^2} - \frac{E}{2(1+\sigma)(1-2\sigma)} \text{grad div} \mathbf{u} - \frac{E}{2(1+\sigma)} \Delta \mathbf{u} = \mathbf{f}. \quad (1)$$

В правой части уравнения стоит  $\mathbf{f}$  – объемная плотность внешних сил. Неизвестной величиной является смещение упругой среды  $\mathbf{u}$ . Также в уравнение входят характеристики упругой среды:  $\rho$  – объемная плотность вещества,  $E$  – модуль растяжения (модуль Юнга),  $\sigma$  – коэффициент Пуассона.

Уравнение (1) может быть записано в другой форме, использующей не коэффициенты упругости, а скорости продольных ( $a$ ) и поперечных ( $b$ ) волн:

$$\rho \frac{\partial^2 \mathbf{u}}{\partial t^2} - \rho(a^2 - b^2) \text{grad div} \mathbf{u} - \rho b^2 \Delta \mathbf{u} = \mathbf{f}. \quad (2)$$

Можно записать его и с использованием оператора  $\text{rot}$ :

$$\rho \frac{\partial^2 \mathbf{u}}{\partial t^2} - \rho a^2 \text{grad div} \mathbf{u} + \rho b^2 \text{rot rot} \mathbf{u} = \mathbf{f}. \quad (3)$$

В случае равенства скоростей поперечных и продольных волн уравнение (2) приобретает сходство с волновым уравнением для векторного потенциала, используемым в теории электромагнетизма:

$$\frac{1}{c^2} \frac{\partial^2 \mathbf{A}}{\partial t^2} - \Delta \mathbf{A} = \frac{4\pi}{c} \mathbf{j}. \quad (4)$$

В докладе [1] автором был предложен новый лагранжиан для уравнения Ламе. Кроме этого было представлено уравнение энергетического баланса, которое можно получить, исходя из этого лагранжиана. Объемная плотность энергии, входящая в это уравнение, имеет следующий вид:

$$\varepsilon = \frac{\rho}{2} \left( \frac{\partial \mathbf{u}}{\partial t} \right)^2 + \frac{\rho}{2} a^2 (\text{div} \mathbf{u})^2 + \frac{\rho}{2} b^2 (\text{rot} \mathbf{u})^2. \quad (5)$$

Вектор объемной плотности потока энергии получился следующий (квадратные скобки обозначают векторное произведение):

$$\mathbf{S} = -\rho a^2 \frac{\partial \mathbf{u}}{\partial t} \operatorname{div} \mathbf{u} - \rho b^2 \left[ \frac{\partial \mathbf{u}}{\partial t} \operatorname{rot} \mathbf{u} \right]. \quad (6)$$

Цель данной работы – получить поток энергии для гармонического точечного силового источника с использованием выражения (6).

### Методика

Пусть силовой источник имеет следующий вид:

$$\mathbf{f} = \mathbf{F}_0 e^{i\omega t} \delta(\mathbf{r}). \quad (7)$$

Решение этой задачи представляется в виде суммы двух слагаемых ( $\mathbf{u} = \mathbf{u}_1 + \mathbf{u}_2$ ). Первое слагаемое, зависящее от скорости поперечных волн, выглядит так:

$$\mathbf{u}_1 = \frac{e^{i\omega t - i\frac{\omega}{b}r}}{4\pi\rho\omega^2} \left\{ \frac{\mathbf{n}(\mathbf{n}\mathbf{F}_0)}{r} \left( -\frac{\omega^2}{b^2} + 3i\frac{\omega}{br} + \frac{3}{r^2} \right) + \frac{\mathbf{F}_0}{r} \left( \frac{\omega^2}{b^2} - i\frac{\omega}{br} - \frac{1}{r^2} \right) \right\}. \quad (8)$$

Второе (зависящее от  $a$ ) – так:

$$\mathbf{u}_2 = -\frac{e^{i\omega t - i\frac{\omega}{a}r}}{4\pi\rho\omega^2} \left\{ \frac{\mathbf{n}(\mathbf{n}\mathbf{F}_0)}{r} \left( -\frac{\omega^2}{a^2} + 3i\frac{\omega}{ar} + \frac{3}{r^2} \right) + \frac{\mathbf{F}_0}{r} \left( -i\frac{\omega}{ar} - \frac{1}{r^2} \right) \right\}. \quad (9)$$

Здесь  $\mathbf{n} = \mathbf{r}/r$ . Подробное описание процесса нахождения решения (в координатном виде для действительного точечного источника) можно найти в [2].

Пусть внешняя сила в выражении (7) направлена вдоль оси  $z$ :

$$\mathbf{f} = \mathbf{z}_0 F_0 e^{i\omega t} \delta(\mathbf{r}). \quad (10)$$

Тогда

$$\mathbf{u}_1 = \frac{e^{i\omega t - i\frac{\omega}{b}r}}{4\pi\rho\omega^2} \left\{ \frac{\mathbf{n}zF_0}{r^2} \left( -\frac{\omega^2}{b^2} + 3i\frac{\omega}{br} + \frac{3}{r^2} \right) + \mathbf{z}_0 \frac{F_0}{r} \left( \frac{\omega^2}{b^2} - i\frac{\omega}{br} - \frac{1}{r^2} \right) \right\} \quad (11)$$

и

$$\mathbf{u}_2 = -\frac{e^{i\omega t - i\frac{\omega}{a}r}}{4\pi\rho\omega^2} \left\{ \frac{\mathbf{n}zF_0}{r^2} \left( -\frac{\omega^2}{a^2} + 3i\frac{\omega}{ar} + \frac{3}{r^2} \right) + \mathbf{z}_0 \frac{F_0}{r} \left( -i\frac{\omega}{ar} - \frac{1}{r^2} \right) \right\}. \quad (12)$$

Оставим только наиболее медленно спадающие слагаемые (в дальнейшем они будут использованы при вычислении потока энергии в волновой зоне):

$$\mathbf{u}_{\sim} = F_0 \frac{e^{i\omega t - i\frac{\omega}{b}r}}{4\pi\rho b^2} \left\{ -\frac{\mathbf{n}\mathbf{z}}{r^2} + \frac{\mathbf{z}_0}{r} \right\} + F_0 \frac{e^{i\omega t - i\frac{\omega}{a}r}}{4\pi\rho a^2} \left\{ \frac{\mathbf{n}\mathbf{z}}{r^2} \right\}. \quad (13)$$

В сферических координатах это выражение будет выглядеть так:

$$\mathbf{u}_{\sim} = -F_0 \frac{e^{i\omega t - i\frac{\omega}{b}r}}{4\pi\rho b^2} \left\{ \sin\theta \frac{\boldsymbol{\theta}_0}{r} \right\} + F_0 \frac{e^{i\omega t - i\frac{\omega}{a}r}}{4\pi\rho a^2} \left\{ \cos\theta \frac{\mathbf{r}_0}{r} \right\}. \quad (14)$$

В итоге после вычислений мы получим следующее выражение для усредненной по периоду плотности радиального потока энергии:

$$\bar{S}_r = \frac{|F_0|^2 \omega^2 \cos^2 \theta}{32\pi^2 \rho a^3 r^2} + \frac{|F_0|^2 \omega^2 \sin^2 \theta}{32\pi^2 \rho b^3 r^2}. \quad (15)$$

Рассмотрим два частных случая. Если скорости продольных и поперечных волн равны ( $a=b$ ), мы будем иметь следующую формулу вместо (15):

$$\bar{S}_{r1} = \frac{|F_0|^2 \omega^2}{32\pi^2 \rho b^3 r^2}. \quad (16)$$

Проинтегрировав по сфере, мы получим

$$\bar{S}_{tot1} = \frac{|F_0|^2 \omega^2}{8\pi\rho b^3}. \quad (17)$$

Если же скорость продольных волн стремится к бесконечности, мы будем иметь (вместо (15)):

$$\bar{S}_{r2} = \frac{|F_0|^2 \omega^2 \sin^2 \theta}{32\pi^2 \rho b^3 r^2}. \quad (18)$$

После интегрирования по сфере:

$$\bar{S}_{tot2} = \frac{2}{3} \frac{|F_0|^2 \omega^2}{8\pi\rho b^3} = \frac{2}{3} \bar{S}_{tot1}. \quad (19)$$

Формулы (17) и (19) представляют собой усредненные по периоду мощности потерь на излучение упругих волн (для двух рассмотренных частных случаев).

### **Обсуждение результатов**

Представляет интерес сравнение полученных выше формул с известными результатами для электромагнитного поля. В докладе [1] автором были приведены два выражения, позволяющие формально (не обращая внимания на различие размерностей) сделать следующие из уравнения Ламе соотношения похожими на соотношения для электромагнитного поля:

$$4\pi\rho b^2 = 1, \quad \mathbf{j} = \frac{1}{4\pi\rho b} \mathbf{f}. \quad (20)$$

Во второе выражение (20) входит  $\mathbf{j}$  – объемная плотность электрического тока.

Если считать что  $b=c$  ( $c$  – скорость света), тогда можно связать амплитуду силы  $F_0$  (коэффициент в выражении (10) для точечного силового источника) с амплитудой тока  $J_0$  в вибраторе, создающем электромагнитное поле:

$$F_0 = \frac{J_0}{c}. \quad (21)$$

Подставив все это в формулу (17) для мощности потерь на излучение в случае равенства скоростей продольных и поперечных волн (и считая, что  $b=c$ ), мы получим:

$$\bar{S}_{tot1} = \frac{|J_0|^2 \omega^2}{2c^3}. \quad (22)$$

Чтобы эта формула совпала с усредненной по периоду формулой Лармора [3] (напомним: при усреднении по времени появляется множитель  $\frac{1}{2}$ ), правая часть должна быть умножена на  $2/3$ . Формально такой же результат получается в случае, когда скорость продольных волн стремится к бесконечности.

- [1] Китаев А.Е. Плотность функции Лагранжа для уравнения Ламе (и формальный переход к уравнениям Максвелла). // Труды XXVI конференции по радиофизике, ННГУ, 2022.
- [2] Стрэтт Дж. В. (лорд Рэлей) Теория звука Т1. – М: ГИТТЛ, 1955.
- [3] Терлецкий Я.П., Рыбаков Ю.П. Электродинамика – М: «Высшая школа», 1990.

## МАТЕМАТИЧЕСКОЕ МОДЕЛИРОВАНИЕ И ЧИСЛЕННО-АНАЛИТИЧЕСКОЕ ИССЛЕДОВАНИЕ ДИНАМИКИ МНОГОПОРШНЕВЫХ ВИБРОУДАРНЫХ МЕХАНИЗМОВ

Е.А. Линева, И.В. Никифорова

*ННГУ им. Н.И. Лобачевского*

В работе изучается динамика многопоршневого виброударного механизма с кривошипно-шатунным возбудителем колебаний, практическая значимость которого заключается в решении проблем забивки различных конструкций, уплотнения грунта с различным коэффициентом прочности и т. д. [1, 2]. Рассматриваемый ударно-вибрационный механизм состоит из корпуса, с расположенным в нем эксцентриковым валом с маховиками на концах. На этом валу установлены эксцентриковые механизмы, каждый из которых состоит из двух эксцентриков  $r_i$ , вставленных друг в друга с возможностью изменения положения шайб, что позволяет регулировать величины эксцентритетов и сдвигов по фазам  $\varphi_i$  между ними ( $i = 1, 2, \dots, N$ ). На свободных концах шатунов установлены шарнирно поршни - ударники (ПУ). Эксцентриковые механизмы вместе с шатунами и ПУ преобразуют вращательное с постоянной циклической частотой вращения маховика  $\omega$  движение вала в возвратно – поступательное движение корпуса относительно стоек. ПУ расположены один внутри другого и ударяются каждый по накопальне [3, 4].

Уравнения движения механизма в безразмерных координатах и параметрах имеют вид

$$\begin{cases} x > f(\tau) \\ \frac{d^2x}{d\tau^2} = -p + \sum_{i=1}^n \lambda_i \mu_i \gamma_i \cos(\tau - \varphi_i) \end{cases} \quad (1)$$

$$\begin{cases} x = f(\tau) \\ \frac{dx}{d\tau} \Big|_+ = -R \frac{dx}{d\tau} \Big|_- + (1 + R) \left( \frac{df(\tau)}{d\tau} \right), \end{cases} \quad (2)$$

где  $f_i(\tau) = \varepsilon_i - \mu_i \gamma_i \cos(\tau - \varphi_i)$ ,  $f(\tau) = \max_{\tau} \{f_1(\tau), f_2(\tau), \dots, f_N(\tau)\}$ ,

$\frac{dx}{d\tau} \Big|_+ = \dot{x}^+$ ,  $\frac{dx}{d\tau} \Big|_- = \dot{x}^-$  – скорость непосредственно после и до удара соответственно,  
 $\tau = \omega t$ ,  $x = \frac{y - s_2 - l}{l}$ ,  $\lambda = \frac{m_i}{M + \sum_{i=1}^n m_i}$ ,  $\mu = \frac{r_1}{l}$ ,  $p = \frac{g}{\omega^2 l}$ ,  $\gamma_i = \frac{r_i}{r_1}$ ;  $\varepsilon_i = \frac{s_i - s_2}{l}$ ,  $i = 1, \dots, N$ .

Фазовое пространство системы  $\Phi(x \geq f(\tau), \dot{x} < +\infty)$  в координатах  $x, \dot{x}, \tau$  усечено по  $x$ . Поверхность  $S(x = f(\tau))$  представляет собой «гофрированную» цилиндрическую поверхность, образованную пересечением  $N$  поверхностей  $x = f_i(\tau)$ . Все фазовые траектории располагаются либо на поверхности  $S$ , либо выше ее. Случай  $x > f(\tau)$  соответствует свободному движению механизма, а  $x = f(\tau)$  – ударному взаимодействию одного из поршней с ограничителем.

Полагая в уравнениях (1)-(2)  $N=2$ ,  $i=1,2$ , получим уравнения для двухпоршневого виброударного механизма. Исследование динамики проведено с помощью изучения

свойств точечного отображения поверхности Пуанкаре  $S(x = f(\tau))$  в себя [5]. На рис. 1а, 1б представлены бифуркационные диаграммы, на которых по оси абсцисс приведены значения частотного параметра  $p$ , а по оси ординат – значения последующих скоростей  $\dot{x}^+$  для набора параметров  $\mu = 0,1; R = 0,3; \lambda_1 = 0,2; \lambda_2 = 0,3; \gamma = 4; \varepsilon = 0,018; \varphi = 0,52$ . 1а соответствует диаграмме с ударами первым поршнем, 1б – с ударами вторым поршнем об ограничитель.

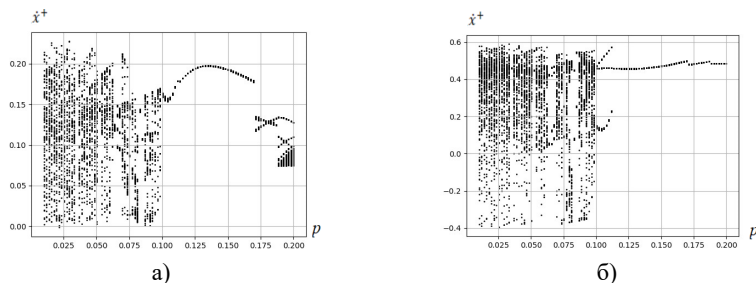


Рис. 1. Бифуркационные диаграммы по частотному параметру  $p$  для значений параметров  $\mu = 0,1; R = 0,3; \lambda_1 = 0,2; \lambda_2 = 0,3; \gamma = 4; \varepsilon = 0,018; \varphi = 0,52$ .

На рис. 2а, 2б приведены бифуркационные диаграммы по частотному параметру  $p$  для того же набора параметров, что и на рис. 1, но при  $\varphi = 1,5$ .

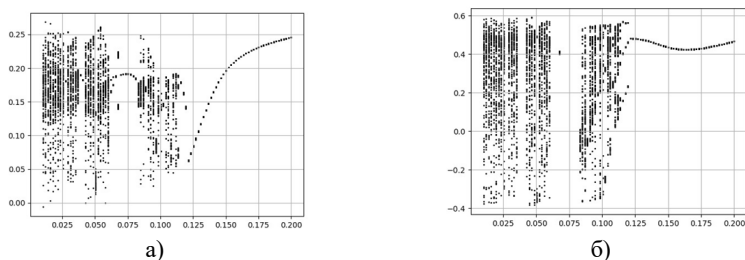


Рис. 2. Бифуркационные диаграммы по частотному параметру  $p$  для значений параметров  $\mu = 0,1; R = 0,3; \lambda_1 = 0,2; \lambda_2 = 0,3; \gamma = 4; \varepsilon = 0,018; \varphi = 1,5$ .

Сравнивая рис. 1а, 1б и рис. 2а, 2б можно увидеть, что увеличение параметра  $\varphi$  (сдвиг по фазе между эксцентриситетами) приводит к увеличению области периодических режимов – периодический режим движения с поочередными ударами каждым поршнем об ограничитель на рис. 1 наблюдается при  $0,12 \leq p \leq 0,17$ , а на рис. 2 при  $0,12 \leq p \leq 0,2$ .

При  $N=3$ ,  $i=1,2,3$  получаем уравнения для трехпоршневого виброударного механизма, исследование динамики которого также проведено с помощью изучения свойств точечного отображения поверхности Пуанкаре  $S(x = f(\tau))$  в себя.

На рис. 3а, 3б, 3в представлены бифуркационные диаграммы по частотному параметру  $p$  для следующего набора параметров  $\mu = 0,1; R = 0,3; \lambda_1 = 0,1; \lambda_2 = 0,2; \lambda_3 = 0,3; \gamma_2 = 3; \gamma_3 = 4; \varepsilon_1 = 0,018; \varepsilon_2 = 0,02; \varphi_2 = 0,52; \varphi_3 = 1,1$ . Рис. 3а соответствуют диаграмме с ударами первым поршнем, рис. 3б – с ударами вторым поршнем, а рис. 3в – с ударами третьим поршнем об ограничитель.

На рис. 4а, 4б, 4в приведены бифуркационные диаграммы для тех же значений параметров, что и на рис. 3, но  $\varphi_2 = 0,8$  (сдвиг по фазе между первым и вторым эксцентриситетом).

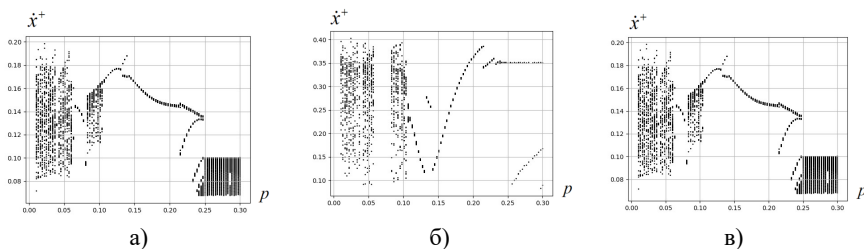


Рис. 3. Бифуркационные диаграммы по частотному параметру  $p$  для значений параметров

$$\mu = 0,1; R = 0,3; \lambda_1 = 0,1; \lambda_2 = 0,2; \lambda_3 = 0,3; \gamma_2 = 3; \gamma_3 = 4; \varepsilon_1 = 0,018; \varepsilon_2 = 0,02; \varphi_2 = 0,52; \varphi_3 = 1,1.$$

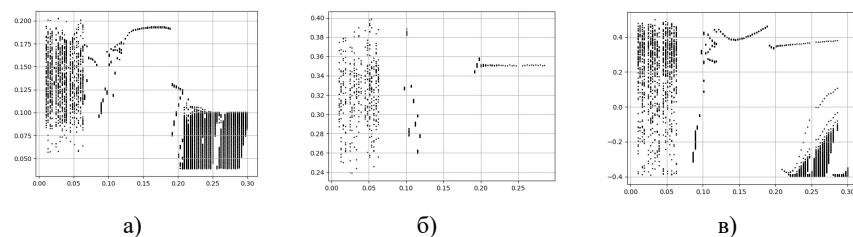


Рис. 4. Бифуркационные диаграммы по частотному параметру  $p$  для значений параметров

$$\mu = 0,1; R = 0,3; \lambda_1 = 0,1; \lambda_2 = 0,2; \lambda_3 = 0,3; \gamma_2 = 3; \gamma_3 = 4; \varepsilon_1 = 0,018; \varepsilon_2 = 0,02; \varphi_2 = 0,8; \varphi_3 = 1,1.$$

Сравнивая рис. 3 и рис. 4 можно заметить, что уменьшение сдвига по фазе между первым и вторым эксцентриситетами приводит к исчезновению в технологическом процессе движения механизма режима с ударом второго поршня об ограничитель (на рис. 4б  $0,12 \leq p \leq 0,18$ ).

На рис. 5а, 5б, 5в приведены бифуркационные диаграммы с теми же значениями параметров, что и на рис. 3, но при  $\gamma_2 = 4$ . Из приведенных диаграмм видно, что при увеличении данного параметра режим с поочередным ударом каждым поршнем об ограничитель исчезает.

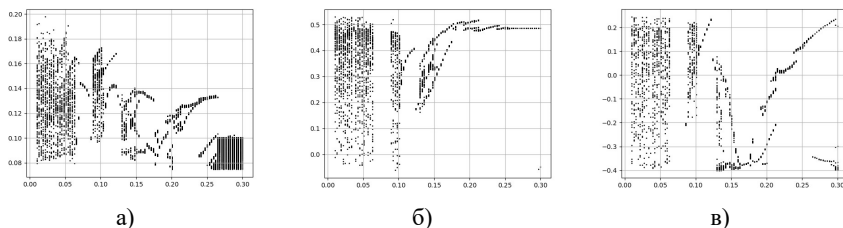


Рис. 5. Бифуркационные диаграммы по частотному параметру  $p$  для значений параметров  
 $\mu = 0,1; R = 0,3; \lambda_1 = 0,1; \lambda_2 = 0,2; \lambda_3 = 0,3; \gamma_2 = 4; \gamma_3 = 4; \varepsilon_1 = 0,018;$   
 $\varepsilon_2 = 0,02; \varphi_2 = 0,52; \varphi_3 = 1,1.$

В работе исследована динамика виброударных механизмов с кривошипно-шатунным возбудителем колебаний. Представлены бифуркационные диаграммы, позволившие изучить влияние основных параметров механизма (место крепления шатунов к поршню-ударнику, длины эксцентриситетов, сдвиг по фазе между ПУ) на его режимы движения. Разработанные методики и результаты численных экспериментов могут быть с успехом использованы в системе управления движением виброударных механизмов при настройке их на основной режим движения (с поочередным ударом каждым поршнем за период).

- [1] Блехман И.И. Синхронизация динамических систем. – М.: Физматгиз, 1971. 894 с.
- [2] Блехман И.И., Джанелидзе Ю.Г. Вибрационное перемещение. – М.: Наука, 1964. 410 с.
- [3] Nikiforova I.V., Igumnov L.A., Metrikin V.S. // Springer Nature Switzerland AG 2021 D. Balandin et al. (Eds.): MMST 2020. 2021. P. 63.
- [4] Igumnov L.A., Metrikin V.S., Nikiforova I.V., Fevral'skikh L.N. // Advanced Structured Materials. 2020. Vol. 137. P. 173.
- [5] Неймарк Ю.И. Метод точечных отображений в теории нелинейных колебаний. – М.: ЛИБРОКОМ, 2010. 472 с.

## МОДЕЛЬ МЕТАМАТЕРИАЛА В ВИДЕ ЦЕПОЧКИ СФЕРИЧЕСКИХ ЧАСТИЦ “МАССА-В-МАССЕ”

В.В. Зайцев<sup>1)</sup>, И.С. Павлов<sup>1,2)</sup>

<sup>1)</sup> ННГУ им. Н.И. Лобачевского

<sup>2)</sup> Институт проблем машиностроения РАН

Класс веществ со сложно организованной внутренней структурой (микроструктурой) и обладающих уникальными физико-механическими свойствами, которые зачастую даже не встречаются в природе, принято называть *метаматериалами* [1]. Как правило, метаматериал представляет собой сложную периодическую структуру, в узлах которой расположены не материальные точки, а тела малых, но конечных размеров, обладающие внутренними степенями свободы (фуллерены, молекулярные кластеры, нанотрубки, зерна, домены и т. п.).

Характерной особенностью класса метаматериалов является наличие в них «запрещенных зон» частот, т. е. таких частот, на которых волны в материале не могут распространяться. В частности, такими материалами являются *фононные кристаллы* – периодические структуры, в которых длина акустических волн соизмерима с периодом решетки [2]. Спектр частот такого кристалла обладает *запрещенной зоной*, и звуковая волна с частотой, попадающей в такую зону, не сможет проникнуть в фононный кристалл: она частично отразится, а частично затухнет на глубине в несколько длин волн. Таким образом, кристалл не только меняет закон распространения звука, но и полностью заглушает его в определенном диапазоне частот.

Если же в периодической структуре шаг чередования включений намного меньше длины звуковой волны, то такую среду называют *акустическим метаматериалом* [2]. В нем звуковая волна распространяется так, словно она не чувствует отдельные границы раздела, а вместо этого ощущает некую однородную «метасреду» с необычными упругими свойствами, которые можно настраивать.

Для исследования процессов распространения акустических волн в метаматериалах и изучения влияния микроструктуры метаматериала на его физико-механические свойства требуются математические модели, дающие возможность установить соответствие между макроконстантами среды (т. е. коэффициентами уравнений динамики среды) и параметрами ее микроструктуры (т. е. формой и размером частиц и параметрами взаимодействий между частицами). В настоящее время во многих работах такие исследования проводятся с помощью моделей цепочек круглых частиц “масса-в-массе” [3, 4]. Цель данной работы – построить аналогичную модель для случая сферических частиц.

Сначала рассмотрим цепочку больших сферических частиц (частиц 1-го сорта) массы  $M$  и с диаметром  $d_1$ . В исходном состоянии их центры масс расположены на расстоянии  $a$  друг от друга (рис. 1). Предполагается, что возможные смещения частиц малы по сравнению с периодом  $a$  одномерной решетки. Каждая частица обладает шестью степенями свободы: центр масс частицы с номером  $N=N(j)$  может смещаться вдоль осей  $x$ ,  $y$  и  $z$  (трансляционные степени свободы  $u_1^{(j)}$ ,  $v_1^{(j)}$  и  $w_1^{(j)}$ ), а сама частица может поворачиваться вокруг каждой из этих осей (ротационные степени

свободы  $\theta_1^{(j)}$ ,  $\psi_1^{(j)}$  и  $\varphi_1^{(j)}$ ) (рис. 2). В этом случае кинетическая энергия частицы  $N(j)$  описывается следующей формулой:

$$T_1 = \frac{M}{2}(u_{1t}^2 + v_{1t}^2 + w_{1t}^2) + \frac{J}{2}(\varphi_{1t}^2 + \theta_{1t}^2 + \psi_{1t}^2), \quad (1)$$

где  $J_1 = \frac{2}{5}M\left(\frac{d_1}{2}\right)^2 = \frac{1}{10}Md_1^2$  – момент инерции частицы относительно каждой оси, проходящей через ее центр масс.

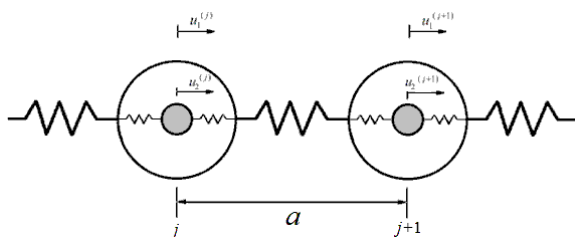


Рис. 1

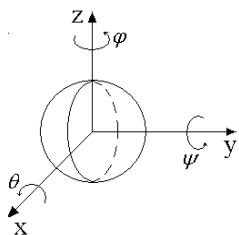


Рис. 2

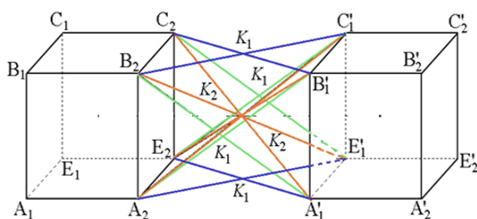


Рис. 3

Считается, что выделенная частица с номером  $N$  взаимодействует лишь с ближайшими соседями по решетке, удаленными от нее на расстояние  $a$ . Будем считать, что взаимодействия соседних частиц моделируются упругими пружинами двух типов: горизонтальными с жесткостью  $K_1$  (рис. 3, синие и зеленые пружины) и диагональными с жесткостью  $K_2$  (рис. 3, коричневые пружины). Взаимодействие частиц при отклонениях от положения равновесия определяется относительными удлинениями пружин. Для удобства дальнейших вычислений будем считать, что точки соединения этих пружин с частицами лежат в вершинах куба со стороной  $b_1$ , вписанного в шар диаметра  $d_1$ . Тогда потенциальная энергия  $N$ -й частицы имеет следующий вид:

$$U_N = \frac{1}{2} \left( \sum_{n=1}^{16} \frac{K_1}{2} D_{1n}^2 + \sum_{n=1}^8 \frac{K_2}{2} D_{2n}^2 \right), \quad (2)$$

где  $D_{1n}$  и  $D_{2n}$  – удлинения пронумерованных в произвольном порядке пружин  $K_1$  и  $K_2$ , соединяющих частицу с ее соседями. Эти удлинения определяются изменениями расстояний между точками соединения соответствующих пружин. Выразив удлинения пружин, соединяющих частицы  $N$  и  $N+1$ , через смещения и углы поворотов частиц, можно получить формулу для потенциальной энергии  $N$ -й частицы первого сорта.

Далее будем считать, что внутри каждой из больших частиц находится малая частица (частица второго сорта) массы  $m$  и с диаметром  $d_2$ , соединенная с большой частицей такой же системой пружин с жесткостями  $K_3$  (аналог  $K_1$ ) и  $K_4$  (аналог  $K_2$ ). В исходном состоянии центры масс малых частиц совпадают с центрами масс больших частиц и расположены на расстоянии  $a$  друг от друга (рис. 4). Каждая малая частица, как и большая, также обладает шестью степенями свободы: трансляционными  $u_2^{(j)}$ ,  $v_2^{(j)}$ ,  $w_2^{(j)}$  и ротационными  $\theta_2^{(j)}$ ,  $\psi_2^{(j)}$  и  $\varphi_2^{(j)}$ . По аналогичной процедуре можно получить выражения для кинетической энергии малой частицы и для потенциальной энергии взаимодействия между большой и малой частицами. Затем составим функцию Лагранжа для ячейки данной цепочки, состоящей из частиц двух сортов, и перейдем в континуальное приближение, разложив в ряд Тейлора смещения частиц и их повороты до производных второго порядка.

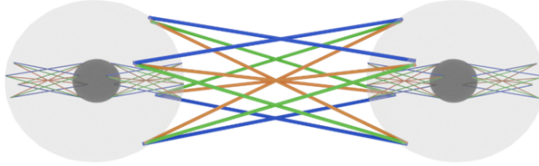


Рис. 4

Из полученной функции Лагранжа с помощью вариационного принципа Гамильтона-Остроградского получим уравнения динамики рассматриваемой цепочки в длинноволновом приближении:

$$\begin{aligned}
 u_{1tt} - c_1^2(4u_{1xx} - a^2u_{1xxxx}) - c_3^2(u_2 - u_1) &= 0, \\
 u_{2tt} + 2c_4^2(u_2 - u_1) &= 0, \\
 v_{1tt} - c_2^2(4(v_{1xx} - \varphi_{1x}) - a^2v_{1xxxx}) &+ c_5^2(2(v_2 - v_1) - R(\varphi_1 + \varphi_2)) = 0, \\
 v_{2tt} + c_6^2(2(v_2 - v_1) + R(\varphi_1 + \varphi_2)) &= 0, \\
 w_{1tt} - c_2^2(4(w_{1xx} + \psi_{1x}) - a^2w_{1xxxx}) &- c_5^2(2(w_2 - w_1) - R(\psi_1 + \psi_2)) = 0, \\
 w_{2tt} - c_6^2(R(\psi_1 + \psi_2) - 2(w_2 - w_1)) &= 0.
 \end{aligned} \tag{3a}$$

$$\varphi_{1tt} - a^2 \left( \beta_2^2 - \frac{1}{2}\beta_1^2 \right) \varphi_{1xx} + 4\beta_1^2(\varphi_1 + v_{1x}) - \frac{1}{2}\beta_3^2(\varphi_2 - \varphi_1) + \tag{36}$$

$$\begin{aligned}
 & +\beta_2^2 \left( \frac{R}{2} (\varphi_1 + \varphi_2) + (v_2 - v_1) \right) + \frac{a^4}{4} (\beta_1^2 + \beta_4^2) \varphi_{1xxxx} = 0, \\
 \varphi_{2tt} + \frac{1}{2} \beta_5^2 (\varphi_2 - \varphi_1) + \beta_6^2 \left( \frac{1}{2} (\varphi_1 + \varphi_2) + \frac{1}{R} (v_2 - v_1) \right) &= 0, \\
 \psi_{1tt} - a^2 \left( \beta_4^2 - \frac{1}{2} \beta_1^2 \right) \psi_{1xx} + 4\beta_1^2 (\psi_1 - w_{1x}) - \frac{1}{2} \beta_3^2 (\psi_2 - \psi_1) + \\
 & + \beta_2^2 \left( \frac{1}{2} (\psi_1 + \psi_2) - \frac{1}{R} (w_2 - w_1) \right) + \frac{a^4}{4} (\beta_1^2 + \beta_4^2) \psi_{1xxxx} = 0, \\
 \psi_{2tt} + \left( \frac{1}{2} \beta_5^2 (\psi_2 - \psi_1) + \beta_6^2 \left( \frac{1}{2} (\psi_1 + \psi_2) + \frac{1}{R} (w_2 - w_1) \right) \right) &= 0, \\
 \theta_{1tt} - \beta_7^2 \left( \theta_{1xx} + \frac{a^2}{4} \theta_{1xxxx} \right) - \frac{1}{2} \beta_8^2 (\theta_2 - \theta_1) &= 0, \\
 \theta_{2tt} + 2\beta_9^2 (\theta_2 - \theta_1) &= 0.
 \end{aligned}$$

В уравнениях (3а,б) введены обозначения:

$$c_1^2 = \frac{a^2 r_1^2}{M} \left( \frac{2K_1}{r_2^2} + \frac{K_2}{r_3^2} \right), \quad c_2^2 = \frac{a^2 b_1^2}{M} \left( \frac{K_1}{r_2^2} + \frac{K_2}{r_3^2} \right), \quad (4)$$

$$c_3^2 = \frac{r_4^2}{M} \left( \frac{2K_3}{r_5^2} + \frac{K_4}{r_6^2} \right), \quad c_4^2 = \frac{M}{m} c_3^2, \quad c_5^2 = \frac{b_2^2}{M} \left( \frac{K_3}{r_5^2} + \frac{K_4}{r_6^2} \right), \quad c_6^2 = \frac{M}{m} c_5^2.$$

$$\begin{aligned}
 \beta_1^2 &= \frac{a^2 b_1^2}{J_1} \left( \frac{K_1}{r_2^2} + \frac{K_2}{r_3^2} \right), \quad \beta_2^2 = \frac{b_1^2}{J_1} \left( \frac{K_1 r_1^2}{r_2^2} \right), \quad \beta_3^2 = \frac{b_2^2 K_3 r_4^2}{J_1 r_5^2}, \\
 \beta_4^2 &= \frac{R^2 b_2^2}{J_1} \left( \frac{K_3}{r_5^2} + \frac{K_4}{r_6^2} \right), \quad \beta_5^2 = \frac{b_2^2 K_3 r_4^2}{J_2 r_5^2}, \quad \beta_6^2 = \frac{J_1}{J_2} \beta_4^2, \\
 \beta_7^2 &= \frac{2a^2 b_1^2 K_1}{J_1 r_2^2}, \quad \beta_8^2 = \frac{b_2^2 K_3}{J_1 r_5^2}, \quad \beta_9^2 = \frac{J_1}{J_2} \beta_8^2.
 \end{aligned} \quad (5)$$

Заметим, что в формуле (4)  $c_1$  и  $c_2$  – скорости продольных и поперечных волн.

Уравнения (3а,б) могут быть полезны для исследования дисперсионных свойств метаматериала, моделируемого цепочкой сферических частиц “масса-в-массе”, с целью нахождения запрещенных зон частот, размер которых зависит от значений параметров микроструктуры этого метаматериала.

[1] Гуляев Ю.В. и др. // Вестник РАН. 2008. Т. 78. №. 5. С. 438.

[2] Deumier P.A. (Ed.) Acoustic Metamaterials and Phononic Crystals // Springer Series in Solid-State Sciences. 2013. Vol. 173.

[3] Guobiao H. et al. // AIP Advances. 2017. Vol. 7. 025211.

[4] Ерофеев В.И. и др. // Акустический журнал. 2022. Т. 68, №. 5. С. 475.

Секция «Математическое моделирование  
процессов и систем»

Заседание секции проводилось 28 мая 2024 г.  
Председатель – И.С. Павлов, секретарь – О.Н. Минаева.  
Нижегородский государственный университет им. Н.И. Лобачевского.